



**IPRJ**

Universidade do Estado  
do Rio de Janeiro



## **Problema de modelagem de um reator químico**

Métodos Numéricos para Equações Diferenciais

### **Autores:**

Lucas Rodrigues Estorck Pinto - 202310349511

Tainá Martins Macário - 202310070411

### **Professor:**

Grazione Souza

Rio de Janeiro, Nova Friburgo

20 de setembro de 2025

# Conteúdo

<b>1</b>	<b>Introdução.....</b>	<b>2</b>
<b>2</b>	<b>Metodologia .....</b>	<b>3</b>
<b>3</b>	<b>Implementação computacional .....</b>	<b>5</b>
3.1	Estrutura do código, organização dos dados e implementação .....	5
3.2	Análise de complexibilidade e performance .....	6
3.3	Convergência, estabilidade e sensibilidade .....	7
3.4	Ambiente computacional e modularidade .....	8
<b>4</b>	<b>Resultados e discussão .....</b>	<b>9</b>
<b>5</b>	<b>Conclusão .....</b>	<b>15</b>
	<b>Referências Bibliográficas .....</b>	<b>16</b>
	<b>Apêndice A: Tabelas de análise de convergência .....</b>	<b>17</b>
	<b>Apêndice B: Código fonte .....</b>	<b>20</b>

# 1 Introdução

Este trabalho tem como objetivo aplicar o método de Runge-Kutta de 4° ordem no contexto da disciplina de Métodos Numéricos para Equações Diferenciais. O contexto de aplicação é a análise de um reator de batelada, onde a produção de penicilina por fermentação é controlada pelo sistema de equações mostrado nas Equações (1) e (2).

$$\frac{dg}{dt} = 13.1g - 13.94g^2 \quad (1)$$

$$\frac{df}{dt} = 1.71g \quad (2)$$

Onde  $g$  é a concentração adimensional da massa celular,  $f$  é a concentração adimensional de penicilina e  $t$  é o tempo adimensional no intervalo  $0 \leq t \leq 1$ . As condições iniciais para a solução do problema são:

$$g(0) = 0.03 \quad f(0) = 0.0$$

Para a resolução, o algoritmo de Runge-Kutta de 4° ordem será implementado na linguagem de programação *Julia*, uma linguagem de alto nível e dinâmica, projetada para computação científica e numérica de alto desempenho. Ela combina características de linguagens interpretadas com a eficiência de linguagens compiladas. Dessa forma, *Julia* oferece a velocidade de uma linguagem compilada com a facilidade de uso do Python, a linguagem mais conhecida e implementada atualmente. [1]

Por fim, os resultados obtidos com a implementação serão discutidos e analisados. Espera-se, assim, avaliar a eficiência do método numérico aplicado e discutir sua aplicabilidade em sistemas reais, onde a resolução de equações diferenciais por métodos numéricos é necessária.

## 2 Metodologia

A metodologia utilizada para a resolução do problema baseou-se na aplicação do método de Runge-Kutta clássico de quarta ordem (RK4). Desenvolvido no início do século XX, este método representa uma classe de algoritmos empregados para a solução numérica de Equações Diferenciais Ordinárias (EDOs) e se destaca pelo equilíbrio entre precisão, estabilidade e custo computacional.

A forma geral de um método de Runge-Kutta é expressa pela Equação (3), onde  $s$  é o número de estágios, os coeficientes  $k_i$  são os incrementos/inclinações calculados em diferentes pontos do intervalo e  $b_i$  são os pesos que ponderam tais incrementos. [2]

$$y_{n+1} = y_n + \sum_{i=1}^s b_i k_i \quad (3)$$

O método clássico de quarta ordem é o mais difundido do grupo. Ele estima a solução de um Problema de Valor Inicial (PVI) utilizando uma média ponderada de quatro incrementos ( $k_1$ ,  $k_2$ ,  $k_3$  e  $k_4$ ), que representam a inclinação da função em diferentes pontos dentro do intervalo de tempo  $\Delta t$ . Para um PVI da forma  $\frac{d\phi}{dt} = f(t, y)$ , a iteração para encontrar o próximo valor  $\phi_{n+1}$  a partir de um valor conhecido  $\phi_n$  é dada pela Equação (4).

$$\phi^{n+1} = \phi^n + \frac{1}{6} (k_1 + 2k_2 + 2k_3 + k_4) \Delta t \quad (4)$$

Os incrementos são definidos por:

$$k_1 = \left( \frac{d\phi}{dt} \right)^n \quad (5)$$

$$k_2 = \frac{d\phi}{dt} \left( t^n + \frac{\Delta t}{2}, \phi^n + k_1 \frac{\Delta t}{2} \right) \quad (6)$$

$$k_3 = \frac{d\phi}{dt} \left( t^n + \frac{\Delta t}{2}, \phi^n + k_2 \frac{\Delta t}{2} \right) \quad (7)$$

$$k_4 = \frac{d\phi}{dt} (t^n + \Delta t, \phi^n + k_3 \Delta t) \quad (8)$$

No contexto deste trabalho, o método RK4 foi aplicado ao sistema de equações diferenciais que descreve o reator de batelada. Como o modelo apresenta duas equações acopladas, relativas à concentração adimensional de células ( $g$ ) e de penicilina ( $f$ ), os incrementos  $k_1$ ,  $k_2$ ,  $k_3$  e  $k_4$  foram calculados separadamente para cada variável, mas em instantes intermediários de tempo idênticos. Para sistemas acoplados da forma:

$$\begin{aligned}\frac{dg}{dt} &= f_g(t, g, f) \\ \frac{df}{dt} &= f_f(t, g, f)\end{aligned}$$

O método RK4 mantém a consistência temporal avaliando as derivadas de ambas as equações nos mesmos pontos intermediários, preservando assim o acoplamento entre as variáveis e garantindo que a ordem de precisão do método seja mantida para o sistema como um todo.

O passo de integração inicial foi definido como  $\Delta t = 0,05$ , conforme a especificação do problema. Posteriormente, foram realizados testes de convergência numérica, diminuindo-se gradualmente o valor de  $\Delta t$  para verificar se os resultados obtidos tendiam à solução de referência, comportamento esperado de um método de quarta ordem. Essa etapa permitiu avaliar a confiabilidade e a ordem de precisão efetiva do esquema implementado.

Além disso, foi conduzida uma análise de sensibilidade, em que os parâmetros cinéticos do modelo (coeficientes lineares e quadráticos) foram modificados em variações percentuais positivas e negativas. Esse procedimento teve como objetivo avaliar a influência de incertezas experimentais ou variações nos coeficientes sobre a dinâmica do reator, fornecendo uma compreensão mais ampla do comportamento do sistema.

Toda a formulação foi implementada na linguagem *Julia*, escolhida por sua eficiência em cálculos científicos e suporte a bibliotecas de visualização. O código foi estruturado de modo a resolver numericamente o sistema de EDOs, registrar os resultados em formato tabular, gerar gráficos de evolução temporal de  $g(t)$  e  $f(t)$  e automatizar a análise de convergência e sensibilidade. Essa integração entre modelagem matemática, implementação computacional e análise crítica assegurou que os resultados numéricos obtidos fossem não apenas consistentes, mas também interpretáveis no contexto da engenharia química.

### 3 Implementação computacional

A implementação numérica do problema foi realizada na linguagem *Julia*, versão 1.11.7+0. Esta linguagem se destaca pela combinação de sintaxe de alto nível e desempenho comparável ao de linguagens compiladas, como C e C++. Tal performance é viabilizada pelo modelo de compilador just-in-time (JIT) que utiliza a infraestrutura LLVM para gerar código nativo otimizado em tempo de execução [1].

A natureza fortemente tipada da linguagem, combinada com inferência automática de tipos, assegura que o código escrito em estilo conciso e expressivo seja convertido em rotinas eficientes, eliminando a necessidade de recorrer a extensões em C ou Fortran para obter desempenho adequado, como frequentemente observado em ambientes baseados em Python [3, 4].

#### 3.1 Estrutura do código, organização dos dados e implementação

O código foi estruturado de forma modular, utilizando estruturas de dados (**struct**) para organizar os parâmetros do modelo e os resultados das simulações. A estrutura **ReactorParams** encapsula os coeficientes cinéticos do reator:

```
1      struct ReactorParams
2          a1::Float64 # Coeficiente linear (13.1)
3          a2::Float64 # Coeficiente quadrático (13.94)
4          b1::Float64 # Coeficiente produção penicilina (1.71)
5      end
```

Esta abordagem garante type safety e facilita a parametrização para análises de sensibilidade, além de melhorar a legibilidade e manutenibilidade do código.

O núcleo da implementação consiste na função **runge\_kutta\_4**, que resolve o sistema de equações diferenciais ordinárias através do método RK4 clássico. A implementação segue rigorosamente a formulação matemática apresentada na Equação (4), adaptada para sistemas acoplados.

Para um sistema de EDOs da forma:

$$\frac{dg}{dt} = f_g(t, g, f) = a_1g - a_2g^2 \quad \frac{df}{dt} = f_f(t, g, f) = b_1g \quad (9)$$

A função central **runge\_kutta\_4** implementa o algoritmo através da pré-alocação, inicialização e cálculo dos coeficientes  $k$  para  $f$ . Abaixo, segue o trecho do código onde implementa-se a inicialização e o cálculo dos coeficientes:

```
1      # Número de passos
2      n_steps = Int(ceil(t_max / dt))
```

```

3
4      # Inicializar vetores de resultados
5      t = Vector{Float64}(undef, n_steps + 1)
6      g = Vector{Float64}(undef, n_steps + 1)
7      f = Vector{Float64}(undef, n_steps + 1)

```

A pré-alocação dos vetores de solução é uma otimização fundamental que evita realocações dinâmicas durante a execução, reduzindo significativamente o overhead computacional e melhorando a localização de memória. Complementarmente, o cálculo dos coeficientes:

```

1      Cálculo dos coeficientes k para g
2      k1_g = dg_dt(g_n, f_n, t_n, params)
3      k2_g = dg_dt(g_n + k1_g * dt/2, f_n + k1_f * dt/2, t_n + dt/2, params)
4      k3_g = dg_dt(g_n + k2_g * dt/2, f_n + k2_f * dt/2, t_n + dt/2, params)
5      k4_g = dg_dt(g_n + k3_g * dt, f_n + k3_f * dt, t_n + dt, params)
6      Cálculo dos coeficientes k para f
7      k1_f = df_dt(g_n, f_n, t_n, params)
8      k2_f = df_dt(g_n + k1_g * dt/2, f_n + k1_f * dt/2, t_n + dt/2, params)
9      k3_f = df_dt(g_n + k2_g * dt/2, f_n + k2_f * dt/2, t_n + dt/2, params)
10     k4_f = df_dt(g_n + k3_g * dt, f_n + k3_f * dt, t_n + dt, params)

```

É importante notar que, para sistemas acoplados, os coeficientes  $k_i$  de ambas as variáveis são calculados nos mesmos instantes intermediários de tempo, garantindo consistência no avanço temporal e preservando o acoplamento entre as equações. Este tratamento é essencial para manter a precisão de quarta ordem do método quando aplicado a sistemas de EDOs.

A fórmula de atualização implementa diretamente a Equação (4):

```

1      g[i+1] = g_n + (dt/6) * (k1_g + 2k2_g + 2k3_g + k4_g)
2      f[i+1] = f_n + (dt/6) * (k1_f + 2k2_f + 2k3_f + k4_f)
3      t[i+1] = t_n + dt

```

## 3.2 Análise de complexibilidade e performance

O custo computacional do algoritmo implementado é  $O(N)$ , onde  $N$  representa o número de passos temporais. Cada iteração realiza um número fixo de operações aritméticas (16 avaliações de função para o sistema 2(E2)), resultando em complexidade linear em relação ao número total de pontos da discretização temporal.

A utilização de operações vetorizadas e a pré-alocação de memória contribuem significativamente para a eficiência computacional. Embora o código atual não implemente explicitamente macros de otimização de baixo nível (`@inbounds`, `@simd`), a infraestrutura LLVM do Julia realiza otimizações automáticas que resultam em performance próxima ao código compilado manualmente.

### 3.3 Convergência, estabilidade e sensibilidade

A validação numérica da implementação foi conduzida através da função `analise_convergencia_completa`, que verifica empiricamente a ordem de convergência teórica do método RK4. O procedimento compara soluções obtidas com diferentes passos de integração ( $\Delta t = 0.05, 0.025, 0.01, 0.005, 0.001$ ) com uma solução de referência calculada usando  $\Delta t = 5 \cdot 10^{-4}$ .

O método RK4 é um integrador explícito de quarta ordem, cuja análise teórica de truncamento leva a erro local da ordem  $O(h^5)$ , implicando um erro global de acumulação da ordem  $O(h^4)$  para problemas não rígidos com solução suficientemente suave. [5]. A verificação empírica confirma que, ao reduzir o passo de integração  $h$  por um fator  $r$ , o fator global diminui aproximadamente por um fator  $r^4$ , validando a implementação.

Este método possui região de estabilidade absoluta limitada, definida pela condição  $|R(z)| < 1$ , onde  $R(z)$  é o polinômio de estabilidade associado com  $z = \lambda h$  representa o produto do autovalor  $\lambda$  do sistema linearizado pelo passo de integração  $h$ . [6]

Para o sistema estudado, que apresenta comportamento não-rígido (autovalores com partes reais de magnitude moderada), o controle da estabilidade é garantido pela escolha adequada do passo temporal. A implementação permite ajuste fácil do passo  $h$  através do parâmetro  $dt$ , facilitando estudos de estabilidade.

A estrutura modular do código facilita a implementação de análises de sensibilidade, conduzidas através da função `analise_sensibilidade_coeficientes`. Esta função varia sistematicamente cada parâmetro cinético ( $a_1, a_2$  e  $b_1$ ) em  $\pm 5\%$  e  $\pm 10\%$ , avaliando o impacto sobre as concentrações finais:

```
1      for var in variacoes
2          fator = 1 + var/100
3          a1_novo = a1_orig * fator
4          params_mod = ReactorParams(a1_novo, a2_orig, b1_orig)
5
6          t, g, f = runge_kutta_4(g0, f0, dt_base, t_max, params_mod)
7          label = var == 0 ? "Original (a=13.1)" : @sprintf("a=%.2f (%+d%%)", a1_novo,
8              ↪ var)
9          resultado = SimulationResult(t, g, f, params_mod, dt_base, label)
10         push!(resultados_a1, resultado)
11     end
12     resultados_sensibilidade["a1"] = resultados_a1
```

Esta abordagem permite quantificar a robustez da solução frente a incertezas experimentais nos parâmetros cinéticos, fornecendo informações valiosas para a validação do modelo e análise de confiabilidade dos resultados.



### 3.4 Ambiente computacional e modularidade

A execução foi realizada em um MacBook Air equipado com processador Apple M4 e sistema operacional macOS Sequoia. Esta configuração moderna permite explorar adequadamente as otimizações de baixo nível fornecidas pelo compilador LLVM, resultando em tempos de execução reduzidos sem comprometer a precisão numérica.

O código foi estruturado com foco na reproducibilidade, incluindo geração automática de relatórios tabulares, gráficos de alta qualidade (resolução 300 DPI) e documentação abrangente dos parâmetros utilizados. Todos os resultados são salvos em formatos padrão (PNG para gráficos, TXT para dados tabulares), facilitando a integração com sistemas de documentação  $\text{\LaTeX}$ .

A arquitetura do código permite fácil extensão para métodos de integração mais sofisticados. Para problemas rígidos (*stiff*), onde o RK4 pode exigir passos extremamente pequenos, a estrutura modular facilita a substituição do núcleo integrador por métodos implícitos ou semi-implícitos, como BDF (Backward Differentiation Formulas) ou métodos Rosenbrock, disponíveis no ecossistema Julia através da biblioteca `DifferentialEquations.jl`.

Esta flexibilidade arquitetural garante que o código desenvolvido possa servir como base para estudos mais avançados, mantendo consistência na interface de dados e nos procedimentos de análise implementados.

## 4 Resultados e discussão

A resolução numérica do sistema de equações diferenciais ordinárias que governa a dinâmica do reator de batelada revelou comportamentos distintos para as concentrações adimensionais de células  $g(t)$  e penicilina  $f(t)$  ao longo da operação, conforme apresentado nas Figuras (1) e (2).

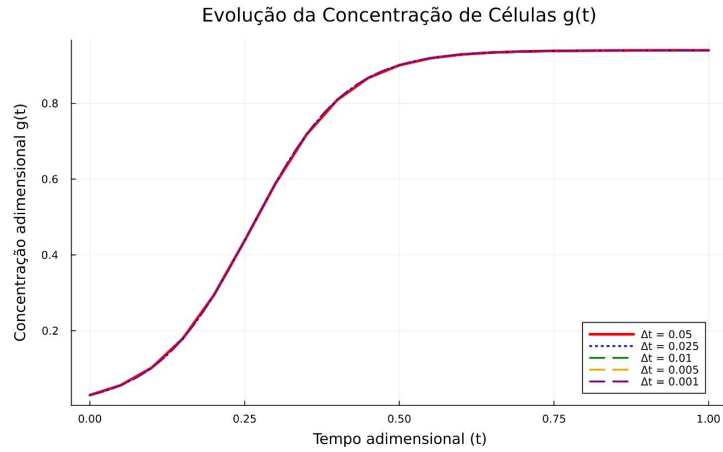


Figura 1: Evolução da concentração de células g(t)

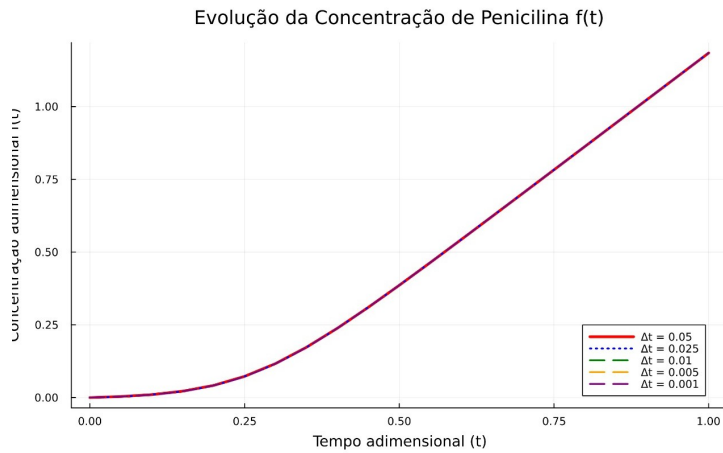


Figura 2: Evolução da concentração de células g(t)

A análise da Figura (1) revela que a concentração adimensional de células  $g(t)$  apresenta uma dinâmica característica de crescimento logístico com saturação. Partindo da condição inicial  $g(0) = 0.03$ , a concentração celular experimenta uma fase de crescimento acelerado até  $t \approx 0.4$ , momento em que a taxa de crescimento diminui progressivamente devido ao efeito inibitório do termo quadrático  $a_2g^2$  na equação diferencial.

O sistema atinge um regime de semi-equilíbrio em  $t \approx 0.7$  com a concentração final convergindo para  $g(1) = 0.9397$ , considerando  $\Delta t = 0.001$  como referência. Este comportamento é consistente com o modelo cinético proposto, onde o termo linear  $a_1g = 13.1g$  representa o crescimento celular e o termo quadrático  $a_2g^2 = 13.94g^2$  modela a limitação por recursos ou inibição por produtos

metabólicos.

A capacidade de suporte efetiva do sistema pode ser estimada por meio de  $\frac{dg}{dt} = 0$ , resultando em  $g_{eq} = \frac{a_1}{a_2} = \frac{13.1}{13.94} = 0.940$ , valor que chega extremamente próximo do resultado numérico obtido, com um erro de 0.0319%, apenas.

O comportamento da concentração de penicilina  $f(t)$ , ilustrado na Figura (2), apresenta características fundamentalmente diferentes do comportamento de  $g(t)$ . A partir da condição inicial  $f(0) = 0.0$ , a concentração de penicilina exibe crescimento monotônico aproximadamente linear para  $t > 0.5$ , atingindo  $f(1) = 1.1844$  ao final da simulação.

Este comportamento é explicado pela estrutura da equação  $\frac{df}{dt} = b_1g = 1.71g$  que estabelece que a taxa de produção de penicilina é diretamente proporcional à concentração de células. Durante a fase de crescimento celular exponencial ( $t < 0.3$ ) a produção de penicilina acelera progressivamente. Após  $t = 0.5$ , quando a concentração celular se aproxima do equilíbrio, a taxa de produção de penicilina se torna aproximadamente constante, resultando no comportamento linear observado.

A representação no plano de fase  $g \times t$ , apresentado na Figura (3) fornece algumas explicações adicionais sobre a dinâmica do sistema acoplado. A trajetória inicia na origem modificada  $(0.03, 0)$  e evolui em direção ao ponto  $(0.940, 1.184)$ , descrevendo uma curva monotônica que reflete o acoplamento unidirecional entre as variáveis.

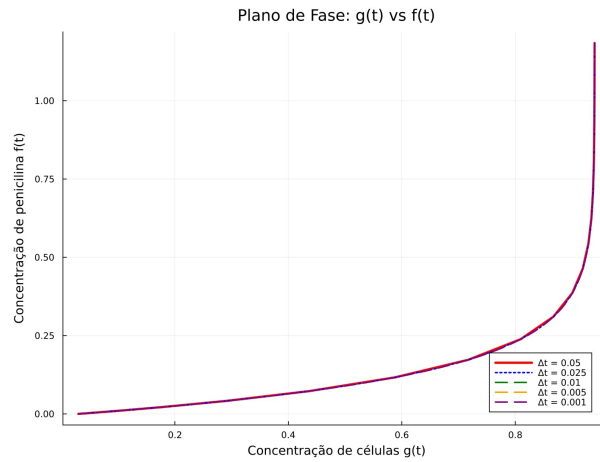


Figura 3: Plano de fase  $g \times f$

A concavidade da curva no plano de fase mostra que a produção inicial de penicilina é relativamente baixa devido à pequena população celular, mas acelera significativamente durante a fase de crescimento exponencial das células. A transição para um regime de crescimento linear de  $f(t)$  corresponde à região onde a trajetória se aproxima de uma reta no plano de fase.

A análise de convergência, conduzida variando o passo de integração de  $\Delta t = 0.001$  até  $\Delta t = 0.05$  é exibida nas Tabelas (3), (4), (5), (6) e (7), no Apêndice A. As Tabelas (1) e (2) exibem os resultados de forma resumida, resultados estes que demonstram convergência consistente para ambas as variáveis.

$\Delta t$	$g(1)$
0.050	0.93968222
0.025	0.93968341
0.010	0.93968347
0.005	0.93968347
0.001	0.93968347

Tabela 1: Concentração de células  $g(t)$  em  $t = 1$  com variação de  $\Delta t$

$\Delta t$	$f(1)$
0.050	1.18425817
0.025	1.18443113
0.010	1.18444499
0.005	1.18444537
0.001	1.18444540

Tabela 2: Concentração de células  $f(t)$  em  $t = 1$  com variação de  $\Delta t$

Os erros relativos entre  $\Delta t = 0.05$  e  $\Delta t = 0.001$  são da ordem de  $1.3 \cdot 10^{-6}$  para  $g(t)$  e de  $1.6 \cdot 10^{-4}$  para  $f(t)$ , confirmando a alta precisão do método implementado. A convergência observada é de consistente com a ordem teórica  $O(h^4)$  do método RK4, o que valida a implementação computacional.

A variação do coeficiente linear  $a_1$  produz impactos significativos na dinâmica de ambas as variáveis, o que pode ser visto nas Figuras (4) e (5). A análise de ambas revela que o aumento em  $a_1$  eleva diretamente a capacidade de suporte para a concentração de células. Para um aumento de 10% de  $a_1$  em  $g(t)$ , observa-se que  $g(1) = 1.040$ , enquanto para uma diminuição de 10% do coeficiente, obtém-se  $g(1) = 0.846$ . A relação é aproximadamente linear, conforme espera-se na análise de equilíbrio  $g_{eq} = \frac{a_1}{a_2}$ .

Da mesma forma, na concentração de penicilina, o efeito é amplificado devido ao acoplamento. Para um aumento de 10% em  $a_1$ , tem-se  $f(1) = 1.311$ , representando um aumento de 10.7% em relação ao caso base. Paralelamente, para uma redução de 10% em  $a_1$ , tem-se  $f(1) = 1.047$ , com uma redução de 11.6%.

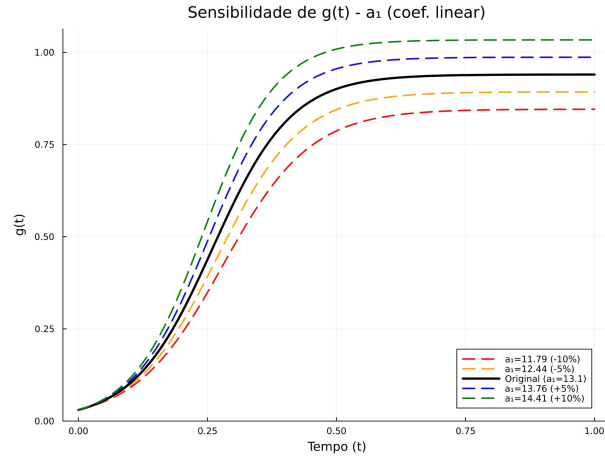


Figura 4: Sensibilidade de  $g(t)$  ao coeficiente linear  $a_1$

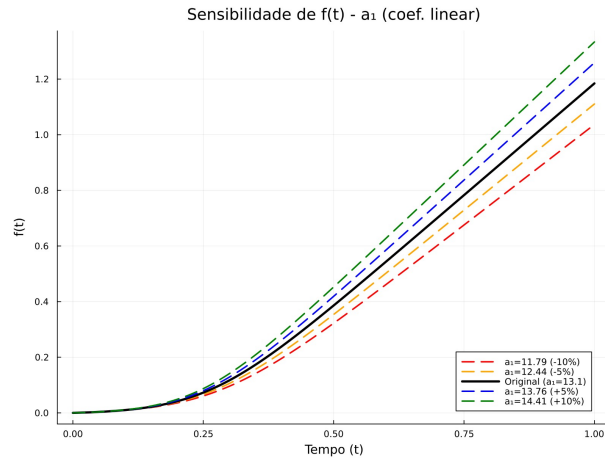


Figura 5: Sensibilidade de  $f(t)$  ao coeficiente linear  $a_1$

Já em relação ao coeficiente quadrático  $a_2$ , as Figuras (6) e (7) mostram o comportamento, que é inverso ao observado para  $a_1$ . Em relação a concentração de células, as reduções em  $a_2$  aumentam a capacidade de suporte. Para 10% de redução,  $g(1) = 1.044$ , enquanto para 10% de aumento,  $g(1) = 0.855$ .

Da mesma maneira ao coeficiente  $a_1$ , a concentração de penicilina segue a mesma tendência da concentração de células devido ao acoplamento, então com variações de  $\pm 10\%$  em  $a_2$ , há mudanças de aproximadamente  $\pm 11\%$  em  $f(1)$ .

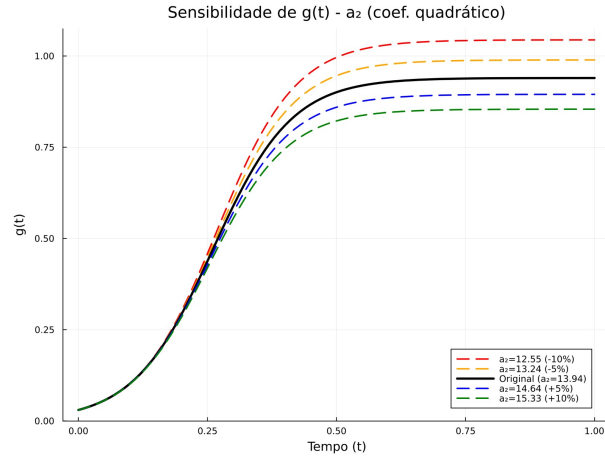


Figura 6: Sensibilidade de  $g(t)$  ao coeficiente quadrático  $a_2$

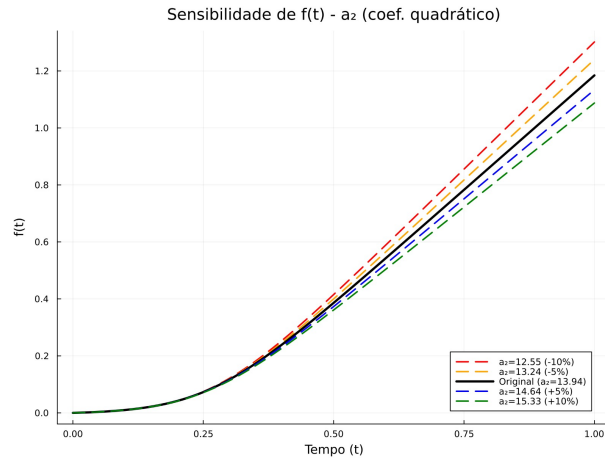


Figura 7: Sensibilidade de  $f(t)$  ao coeficiente quadrático  $a_2$

Por fim, nas Figuras (8) e (9) tem-se a variação do coeficiente de produção  $b_1$ . As curvas de  $g(t)$  são quase idênticas para todas as variações de  $b_1$  testadas. Esta situação ocorre pois  $b_1$  não aparece na equação diferencial que rege  $g(t)$ , confirmando que a produção de penicilina não afeta retroativamente o crescimento celular no modelo proposto.

Já na concentração de penicilina, vê-se um efeito diretamente proporcional, o que é esperado pela relação  $\frac{df}{dt} = b_1 g$ . Variações de  $\pm 10\%$  em  $b_1$  resultam em mudanças correspondentes de  $\pm 10\%$  em  $f(1)$ , demonstrando linearidade perfeita.

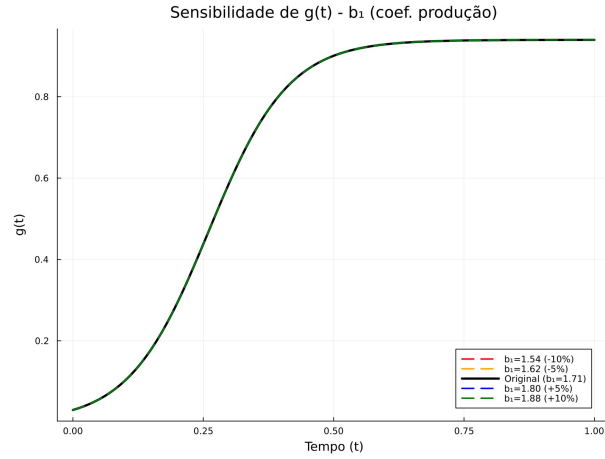


Figura 8: Sensibilidade de  $g(t)$  ao coeficiente linear  $b_1$

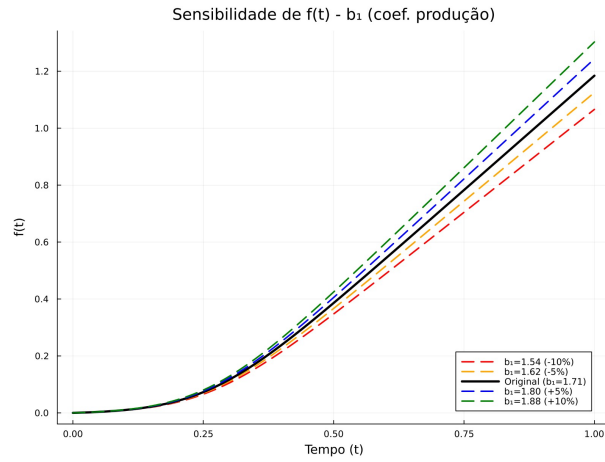


Figura 9: Sensibilidade de  $f(t)$  ao coeficiente linear  $b_1$

A implementação do método RK4 demonstrou excelente estabilidade numérica e convergência consistente com a teoria, o que valida a abordagem computacional aqui adotada. Os resultados revelaram um comportamento dinâmico distinto para as duas variáveis do sistema, sendo elas: crescimento logístico saturado para a concentração celular e crescimento linear para a produção da penicilina após o regime transiente inicial.

A análise de sensibilidade quantificou a influência de cada parâmetro cinético, evidenciando que as variações de  $\pm 10\%$  nos coeficientes resultam em desvios controláveis de aproximadamente 11% na produção final de penicilina. Particularmente relevante é a constatação da não-influência do coeficiente de produção  $b_1$  na dinâmica celular, o que confirma o desacoplamento unidirecional do modelo proposto.

## 5 Conclusão

O presente trabalho demonstrou com sucesso a aplicação do método de Runge-Kutta de quarta ordem na resolução numérica de um sistema de equações diferenciais ordinárias que modela a dinâmica de um reator de batelada para produção de penicilina. A implementação computacional em linguagem Julia comprovou-se eficaz, proporcionando resultados numericamente consistentes e computacionalmente eficientes.

A análise de convergência confirmou empiricamente a ordem teórica  $O(h^4)$  do método RK4, com erros relativos da ordem de  $1.3 \cdot 10^{-6}$  para a concentração celular e  $1.6 \cdot 10^{-4}$  para a concentração de penicilina quando comparados entre  $\Delta t = 0.001$  e  $\Delta t = 0.05$ . Esta verificação valida a implementação computacional e a adequação do método para o problema.

A estabilidade numérica observada e a complexidade computacional linear  $O(N)$  validam tanto a implementação quanto a adequação do método para o problema estudado.

Os resultados revelaram comportamentos fisicamente coerentes: crescimento logístico saturado para a concentração celular, convergindo para  $g_{eq} = 0.940$ , possuindo uma concordância excelente com a previsão teórica  $\frac{a_1}{a_2}$ , e crescimento linear para a penicilina após regime transiente. O desacoplamento unidirecional do modelo foi confirmado pela independência da dinâmica celular em relação ao coeficiente  $b_1$ .

A análise paramétrica quantificou que variações de  $\pm 10\%$  nos coeficientes  $a_1$  e  $a_2$  resultam em mudanças de aproximadamente  $\pm 11\%$  na produção final de penicilina. O coeficiente  $b_1$  apresentou relação diretamente proporcional com a produção, sem afetar o crescimento celular.

Os resultados indicam que  $t = 0.7$  representa um marco adequado entre crescimento celular (com 95% do valor final) e produção de penicilina para definição de tempos de ciclo. A robustez do processo frente a variações paramétricas ( $\pm 11\%$  de variação para  $\pm 10\%$  nos coeficientes) e a independência entre  $b_1$  e crescimento celular sugerem estratégias de otimização que podem melhorar a eficiência produtiva sem comprometer a fase de crescimento.

As limitações incluem a hipótese de sistema não-rígido e parâmetros constantes, que podem não se aplicar a modelos mais complexos.

Trabalhos futuros podem incluir: implementação de métodos implícitos para sistemas rígidos (BDF, Rosenbrock); incorporação de efeitos dinâmicos de temperatura, pH e concentração de substrato; desenvolvimento de algoritmos de otimização automática para maximização da produtividade; análise de incertezas probabilísticas utilizando métodos de Monte Carlo; e extensão para reatores contínuos e fed-batch com controle em tempo real.

A estrutura modular desenvolvida facilita essas extensões, posicionando este trabalho como base sólida para investigações mais avançadas em modelagem e otimização de bioreatores.

Em síntese, o trabalho demonstrou a aplicabilidade de métodos numéricos clássicos na solução de problemas de engenharia química, fornecendo validação teórica e conclusões operacionais relevantes para otimização de processos biotecnológicos.



## Referências Bibliográficas

- [1] J. Bezanson, A. Edelman, S. Karpinski, and V. B. Shah, “Julia: A fresh approach to numerical computing,” *SIAM Review*, vol. 59, no. 1, pp. 65–98, 2017.
- [2] S. C. Chapra and R. P. Canale, *Métodos Numéricos para Engenharia*. Porto Alegre: AMGH Editora, 7 ed., 2016.
- [3] “Para que serve a linguagem julia?.” <https://www.datacamp.com/pt/blog/what-is-julia-used-for>, 2024. Accessed: 2025-09-19.
- [4] “Julia vs python - which one is best fit for your business?.” <https://eluminoustechnologies.com/blog/julia-vs-python/>, 2025. Accessed: 2025-09-19.
- [5] J. C. Butcher, *Numerical Methods for Ordinary Differential Equations*. John Wiley & Sons, 3 ed., 2016.
- [6] E. Hairer, S. P. Nørsett, and G. Wanner, *Solving Ordinary Differential Equations I: Nonstiff Problems*. Springer, 1993. Classical reference on RK methods and stability analysis.

## Apêndice A: Tabelas de análise de convergência

t	g(t)	f(t)
0.0000	0.030000000	0.00000000
0.0500	0.05609750	0.00357042
0.1000	0.10234364	0.01016446
0.1500	0.17899199	0.02194005
0.2000	0.29296190	0.04184897
0.2500	0.43774353	0.07293434
0.3000	0.58892539	0.11689063
0.3500	0.71767463	0.17298491
0.4000	0.80961352	0.23854627
0.4500	0.86732904	0.31044706
0.5000	0.90068113	0.38616634
0.5500	0.91903849	0.46403921
0.6000	0.92887253	0.54308151
0.6500	0.93406426	0.62274571
0.7000	0.93678404	0.70273696
0.7500	0.93820306	0.78289921
0.8000	0.93894186	0.86315057
0.8500	0.93932608	0.94344830
0.9000	0.93952579	1.02377014
0.9500	0.93962956	1.10410452
1.0000	0.93968347	1.18444540

Tabela 3: Resultados para  $\Delta t = 0.0010$ , 1000 passos,  $g(0) = 0.03$ ,  $f(0) = 0.0$  e coeficientes  $a_1 = 13.1$ ,  $a_2 = 13.94$  e  $b_1 = 1.71$

t	g(t)	f(t)
0.0000	0.030000000	0.00000000
0.0500	0.05609749	0.00357042
0.1000	0.10234363	0.01016446
0.1500	0.17899197	0.02194004
0.2000	0.29296186	0.04184897
0.2500	0.43774348	0.07293433
0.3000	0.58892534	0.11689061
0.3500	0.71767459	0.17298489
0.4000	0.80961348	0.23854625
0.4500	0.86732902	0.31044704
0.5000	0.90068112	0.38616632
0.5500	0.91903848	0.46403919
0.6000	0.92887252	0.54308148
0.6500	0.93406426	0.62274568
0.7000	0.93678404	0.70273694
0.7500	0.93820306	0.78289918
0.8000	0.93894186	0.86315054
0.8500	0.93932608	0.94344828
0.9000	0.93952579	1.02377012
0.9500	0.93962956	1.10410449
1.0000	0.93968347	1.18444537

Tabela 4: Resultados para  $\Delta t = 0.0050$ , 200 passos,  $g(0) = 0.03$ ,  $f(0) = 0.0$  e coeficientes  $a_1 = 13.1$ ,  $a_2 = 13.94$  e  $b_1 = 1.71$

t	g(t)	f(t)
0.0000	0.030000000	0.000000000
0.0500	0.05609743	0.00357041
0.1000	0.10234345	0.01016444
0.1500	0.17899159	0.02193999
0.2000	0.29296126	0.04184887
0.2500	0.43774275	0.07293418
0.3000	0.58892463	0.11689040
0.3500	0.71767399	0.17298462
0.4000	0.80961303	0.23854594
0.4500	0.86732868	0.31044670
0.5000	0.90068088	0.38616596
0.5500	0.91903832	0.46403882
0.6000	0.92887242	0.54308111
0.6500	0.93406420	0.62274530
0.7000	0.93678400	0.70273656
0.7500	0.93820304	0.78289880
0.8000	0.93894185	0.86315016
0.8500	0.93932608	0.94344789
0.9000	0.93952579	1.02376973
0.9500	0.93962956	1.10410410
1.0000	0.93968347	1.18444499

Tabela 5: Resultados para  $\Delta t = 0.0100$ , 100 passos,  $g(0) = 0.03$ ,  $f(0) = 0.0$  e coeficientes  $a_1 = 13.1$ ,  $a_2 = 13.94$  e  $b_1 = 1.71$

t	g(t)	f(t)
0.0000	0.030000000	0.000000000
0.0500	0.05609544	0.00357016
0.1000	0.10233712	0.01016361
0.1500	0.17897820	0.02193813
0.2000	0.29293988	0.04184544
0.2500	0.43771647	0.07292873
0.3000	0.58889898	0.11688271
0.3500	0.71765233	0.17297497
0.4000	0.80959576	0.23853493
0.4500	0.86731545	0.31043480
0.5000	0.90067128	0.38615344
0.5500	0.91903175	0.46402585
0.6000	0.92886814	0.54306782
0.6500	0.93406151	0.62273180
0.7000	0.93678236	0.70272291
0.7500	0.93820206	0.78288507
0.8000	0.93894128	0.86313637
0.8500	0.93932575	0.94343407
0.9000	0.93952560	1.02375590
0.9500	0.93962945	1.10409026
1.0000	0.93968341	1.18443113

Tabela 6: Resultados para  $\Delta t = 0.0250$ , 40 passos,  $g(0) = 0.03$ ,  $f(0) = 0.0$  e coeficientes  $a_1 = 13.1$ ,  $a_2 = 13.94$  e  $b_1 = 1.71$

t	g(t)	f(t)
0.0000	0.03000000	0.00000000
0.0500	0.05607190	0.00356722
0.1000	0.10226165	0.01015390
0.1500	0.17881616	0.02191602
0.2000	0.29267641	0.04180476
0.2500	0.43738777	0.07286383
0.3000	0.58857636	0.11679015
0.3500	0.71737472	0.17285811
0.4000	0.80935935	0.23840190
0.4500	0.86711749	0.31029131
0.5000	0.90051646	0.38600195
0.5500	0.91891989	0.46386783
0.6000	0.92879248	0.54290474
0.6500	0.93401279	0.62256509
0.7000	0.93675209	0.70255376
0.7500	0.93818375	0.78271435
0.8000	0.93893042	0.86296468
0.8500	0.93931940	0.94326179
0.9000	0.93952194	1.02358326
0.9500	0.93962736	1.10391742
1.0000	0.93968222	1.18425817

Tabela 7: Resultados para  $\Delta t = 0.0500$ , 20 passos,  $g(0) = 0.03$ ,  $f(0) = 0.0$  e coeficientes  $a_1 = 13.1$ ,  $a_2 = 13.94$  e  $b_1 = 1.71$

## Apêndice B: Código fonte

```
1 using Plots, Printf, Statistics, Dates
2
3 # Estrutura para armazenar parâmetros do modelo
4 struct ReactorParams
5     a1::Float64 # Coeficiente linear (13.1)
6     a2::Float64 # Coeficiente quadrático (13.94)
7     b1::Float64 # Coeficiente produção penicilina (1.71)
8 end
9
10 # Parâmetros originais conforme especificação do problema
11 PARAMS_ORIGINAL = ReactorParams(13.1, 13.94, 1.71)
12
13 function dg_dt(g, f, t, params::ReactorParams)
14     return params.a1 * g - params.a2 * g^2
15 end
16
17 function df_dt(g, f, t, params::ReactorParams)
18     return params.b1 * g
19 end
20
21 # Implementação do método Runge-Kutta clássico de 4ª ordem
22 function runge_kutta_4(g0, f0, dt, t_max, params::ReactorParams)
23     """
24     Implementa o método Runge-Kutta clássico de 4ª ordem para sistema de EDOs
25
26     Parâmetros:
27     - g0, f0: condições iniciais
28     - dt: incremento de tempo
29     - t_max: tempo máximo de simulação
30     - params: parâmetros do modelo
31
32     Retorna:
33     - t, g, f: vetores com soluções numéricas
34     """
35
36     # Número de passos
37     n_steps = Int(ceil(t_max / dt))
38
39     # Inicializar vetores de resultados
40     t = Vector{Float64}(undef, n_steps + 1)
41     g = Vector{Float64}(undef, n_steps + 1)
42     f = Vector{Float64}(undef, n_steps + 1)
43
44     # Condições iniciais
45     t[1] = 0.0
46     g[1] = g0
47     f[1] = f0
48
49     # Loop principal do método RK4
```

```

50     for i in 1:n_steps
51         # Valores atuais
52         t_n = t[i]
53         g_n = g[i]
54         f_n = f[i]
55
56         # Cálculo dos coeficientes k para g
57         k1_g = dg_dt(g_n, f_n, t_n, params)
58         k2_g = dg_dt(g_n + k1_g * dt/2, f_n, t_n + dt/2, params)
59         k3_g = dg_dt(g_n + k2_g * dt/2, f_n, t_n + dt/2, params)
60         k4_g = dg_dt(g_n + k3_g * dt, f_n, t_n + dt, params)
61
62         # Cálculo dos coeficientes k para f
63         k1_f = df_dt(g_n, f_n, t_n, params)
64         k2_f = df_dt(g_n + k1_g * dt/2, f_n, t_n + dt/2, params)
65         k3_f = df_dt(g_n + k2_g * dt/2, f_n, t_n + dt/2, params)
66         k4_f = df_dt(g_n + k3_g * dt, f_n, t_n + dt, params)
67
68         # Aplicação da fórmula RK4
69         g[i+1] = g_n + (dt/6) * (k1_g + 2*k2_g + 2*k3_g + k4_g)
70         f[i+1] = f_n + (dt/6) * (k1_f + 2*k2_f + 2*k3_f + k4_f)
71         t[i+1] = t_n + dt
72     end
73
74     return t, g, f
75 end
76
77 # Estrutura para armazenar resultados
78 struct SimulationResult
79     t::Vector{Float64}
80     g::Vector{Float64}
81     f::Vector{Float64}
82     params::ReactorParams
83     dt::Float64
84     label::String
85 end
86
87 # Função para salvar resultados em formato tabular
88 function salvar_resultados_tabela(t, g, f, dt, filename)
89     """
90     Salva os resultados em formato de tabela para o relatório
91     """
92     open(filename, "w") do file
93         write(file, "="^70 * "\n\n")
94
95         write(file, "PARÂMETROS DA SIMULAÇÃO:\n")
96         write(file, @sprintf(" Incremento de tempo (t): %.4f\n", dt))
97         write(file, @sprintf(" Tempo máximo (t_max): %.1f\n", t[end]))
98         write(file, @sprintf(" Número de passos: %d\n", length(t)-1))
99         write(file, " Condições iniciais: g(0) = 0.03, f(0) = 0.0\n")
100        write(file, " Coeficientes: a = 13.1, a = 13.94, b = 1.71\n\n")
101    end

```

```

102     write(file, "RESULTADOS NUMÉRICOS:\n")
103     write(file, @sprintf("%-12s %-15s %-15s\n", "t", "g(t)", "f(t)"))
104     write(file, "-"^45 * "\n")
105
106     # Mostrar todos os pontos para dt principal, ou pontos selecionados para outros
107     step = dt == 0.05 ? 1 : max(1, Int(round(length(t)/20)))
108
109     for i in 1:step:length(t)
110         write(file, @sprintf("%-12.4f %-15.8f %-15.8f\n", t[i], g[i], f[i]))
111     end
112
113     # Sempre mostrar o último ponto
114     if step > 1
115         write(file, @sprintf("%-12.4f %-15.8f %-15.8f\n", t[end], g[end], f[end]))
116     end
117
118     write(file, "\n")
119     write(file, @sprintf("VALORES FINAIS (t = %.1f):\n", t[end]))
120     write(file, @sprintf(" g(%.1f) = %.8f\n", t[end], g[end]))
121     write(file, @sprintf(" f(%.1f) = %.8f\n", t[end], f[end]))
122 end
123 println("Resultados salvos em: $filename")
124 end
125
126 # Função para análise de convergência conforme especificação
127 function analise_convergencia_completa(g0, f0, t_max)
128     """
129     Realiza análise de convergência variando t conforme requisito 2
130     Incremento inicial: t = 0.05, depois testa convergência
131     """
132     println("\n" * "="^60)
133     println("ANÁLISE DE CONVERGÊNCIA NUMÉRICA")
134     println("="^60)
135
136     # Valores de t para teste de convergência (começando com 0.05 conforme especificação)
137     dt_values = [0.05, 0.025, 0.01, 0.005, 0.001]
138     resultados = SimulationResult[]
139
140     println("Testando convergência com diferentes valores de t:")
141     println("-"^60)
142
143     # Solução de referência com t muito pequeno
144     println("Calculando solução de referência (t = 0.0005)...")
145     t_ref, g_ref, f_ref = runge_kutta_4(g0, f0, 0.0005, t_max, PARAMS_ORIGINAL)
146
147     # Arquivo para resultados de convergência
148     open("convergencia_numerica.txt", "w") do file
149         write(file, "ANÁLISE DE CONVERGÊNCIA NUMÉRICA\n")
150         write(file, "-"^70 * "\n\n")
151
152         write(file, @sprintf("%-8s %-12s %-12s %-12s %-12s %-10s\n",
153             "t", "g(1)", "f(1)", "Erro g", "Erro f", "Ordem"))

```

```

154     write(file, "-"^75 * "\n")
155
156     erro_anterior_g = 0.0
157
158     for (idx, dt) in enumerate(dt_values)
159         println(@sprintf("Simulando com t = %.4f...", dt))
160
161         t, g, f = runge_kutta_4(g0, f0, dt, t_max, PARAMS_ORIGINAL)
162
163         # Calcular erros em relação à solução de referência
164         erro_g = abs(g[end] - g_ref[end])
165         erro_f = abs(f[end] - f_ref[end])
166
167         # Calcular ordem de convergência
168         ordem = idx > 1 && erro_anterior_g > 0 ? log2(erro_anterior_g / erro_g) : 0.0
169
170         write(file, @sprintf("%-8.4f %-12.8f %-12.8f %-12.2e %-12.2e %-10.2f\n",
171             dt, g[end], f[end], erro_g, erro_f, ordem))
172
173         println(@sprintf(" t = %.4f: g(1) = %.8f, f(1) = %.8f, Erro_g = %.2e",
174             dt, g[end], f[end], erro_g))
175
176         # Salvar resultados tabulares para cada t
177         filename = @sprintf("resultados_dt_%.4f.txt", dt)
178         salvar_resultados_tabela(t, g, f, dt, filename)
179
180         # Armazenar para plotagem
181         resultado = SimulationResult(t, g, f, PARAMS_ORIGINAL, dt, "t = $dt")
182         push!(resultados, resultado)
183
184         erro_anterior_g = erro_g
185     end
186
187     write(file, "\nNOTAS:\n")
188     write(file, " Solução de referência calculada com t = 0.0005\n")
189     write(file, " Ordem de convergência teórica do RK4: 4\n")
190     write(file, " Erro = |valor_calculado - valor_referência|\n")
191 end
192
193 return resultados
194 end
195
196 # Função para plotar resultados principais (conforme requisito 3)
197 function plotar_resultados_principais(resultados)
198     """
199     Gera os gráficos principais dos resultados conforme especificação
200     """
201     println("\nGerando gráficos dos resultados...")
202
203     # Configurar tema dos gráficos
204     gr(size=(800, 600), dpi=300)
205

```



```

206 # 1. Gráfico da evolução temporal de g(t)
207 p1 = plot(title="Evolução da Concentração de Células g(t)",
208           xlabel="Tempo adimensional (t)",
209           ylabel="Concentração adimensional g(t)",
210           legend=:bottomright,
211           grid=true,
212           linewidth=2)
213
214 # 2. Gráfico da evolução temporal de f(t)
215 p2 = plot(title="Evolução da Concentração de Penicilina f(t)",
216           xlabel="Tempo adimensional (t)",
217           ylabel="Concentração adimensional f(t)",
218           legend=:bottomright,
219           grid=true,
220           linewidth=2)
221
222 # 3. Plano de fase g vs f
223 p3 = plot(title="Plano de Fase: g(t) vs f(t)",
224           xlabel="Concentração de células g(t)",
225           ylabel="Concentração de penicilina f(t)",
226           legend=:bottomright,
227           grid=true,
228           linewidth=2)
229
230 # Cores para diferentes t
231 cores = [:red, :blue, :green, :orange, :purple]
232
233 for (i, res) in enumerate(resultados)
234     cor = cores[min(i, length(cores))]
235     estilo = res.dt == 0.05 ? :solid : (res.dt <= 0.01 ? :dash : :dot)
236     largura = res.dt == 0.05 ? 3 : 2
237
238     plot!(p1, res.t, res.g,
239           label=res.label,
240           color=cor,
241           linestyle=estilo,
242           linewidth=largura)
243
244     plot!(p2, res.t, res.f,
245           label=res.label,
246           color=cor,
247           linestyle=estilo,
248           linewidth=largura)
249
250     plot!(p3, res.g, res.f,
251           label=res.label,
252           color=cor,
253           linestyle=estilo,
254           linewidth=largura)
255 end
256
257 # Salvar gráficos individuais

```

```

258 savefig(p1, "evolucao_g_tempo.png")
259 savefig(p2, "evolucao_f_tempo.png")
260 savefig(p3, "plano_fase.png")
261
262 # Gráfico combinado
263 p_combined = plot(p1, p2, layout=(2,1), size=(800, 1000))
264 savefig(p_combined, "resultados_principais.png")
265
266 println("Gráficos principais salvos:")
267 println(" evolucao_g_tempo.png")
268 println(" evolucao_f_tempo.png")
269 println(" plano_fase.png")
270 println(" resultados_principais.png")
271
272 return p1, p2, p3
273 end
274
275 # Função para análise de sensibilidade (requisito 4)
276 function analise_sensibilidade_coeficientes(g0, f0, t_max, dt_base)
277     """
278     Análise de sensibilidade quando da variação de coeficientes das equações
279     Conforme requisito 4 da especificação
280     """
281     println("\n" * "="^60)
282     println("ANÁLISE DE SENSIBILIDADE DOS COEFICIENTES")
283     println("="^60)
284
285     # Variações percentuais dos coeficientes
286     variacoes = [-10, -5, 0, 5, 10] # em %
287     resultados_sensibilidade = Dict{String, Vector{SimulationResult}}{ }()
288
289     # Coeficientes originais
290     a1_orig, a2_orig, b1_orig = 13.1, 13.94, 1.71
291
292     # Análise do coeficiente a = 13.1
293     println("Analisando sensibilidade do coeficiente a = 13.1...")
294     resultados_a1 = SimulationResult[]
295
296     for var in variacoes
297         fator = 1 + var/100
298         a1_novo = a1_orig * fator
299         params_mod = ReactorParams(a1_novo, a2_orig, b1_orig)
300
301         t, g, f = runge_kutta_4(g0, f0, dt_base, t_max, params_mod)
302         label = var == 0 ? "Original (a=13.1)" : @sprintf("a=%.2f (%+d%%)", a1_novo, var)
303         resultado = SimulationResult(t, g, f, params_mod, dt_base, label)
304         push!(resultados_a1, resultado)
305     end
306     resultados_sensibilidade["a1"] = resultados_a1
307
308     # Análise do coeficiente a = 13.94
309     println("Analisando sensibilidade do coeficiente a = 13.94...")

```

```

310 resultados_a2 = SimulationResult[]
311
312 for var in variacoes
313     fator = 1 + var/100
314     a2_novo = a2_orig * fator
315     params_mod = ReactorParams(a1_orig, a2_novo, b1_orig)
316
317     t, g, f = runge_kutta_4(g0, f0, dt_base, t_max, params_mod)
318     label = var == 0 ? "Original (a=13.94)" : @sprintf("a=%.2f (%+d%%)", a2_novo, var)
319     resultado = SimulationResult(t, g, f, params_mod, dt_base, label)
320     push!(resultados_a2, resultado)
321 end
322 resultados_sensibilidade["a2"] = resultados_a2
323
324 # Análise do coeficiente b = 1.71
325 println("Analisando sensibilidade do coeficiente b = 1.71...")
326 resultados_b1 = SimulationResult[]
327
328 for var in variacoes
329     fator = 1 + var/100
330     b1_novo = b1_orig * fator
331     params_mod = ReactorParams(a1_orig, a2_orig, b1_novo)
332
333     t, g, f = runge_kutta_4(g0, f0, dt_base, t_max, params_mod)
334     label = var == 0 ? "Original (b=1.71)" : @sprintf("b=%.2f (%+d%%)", b1_novo, var)
335     resultado = SimulationResult(t, g, f, params_mod, dt_base, label)
336     push!(resultados_b1, resultado)
337 end
338 resultados_sensibilidade["b1"] = resultados_b1
339
340 return resultados_sensibilidade
341 end
342
343 # Função para plotar análise de sensibilidade
344 function plotar_sensibilidade(resultados_sensibilidade)
345     """
346     Gera gráficos da análise de sensibilidade
347     """
348     println("Gerando gráficos de análise de sensibilidade...")
349
350     cores = [:red, :orange, :black, :blue, :green]
351
352     # Gráficos para cada coeficiente
353     plots_g = []
354     plots_f = []
355
356     coef_nomes = ["a (coef. linear)", "a (coef. quadrático)", "b (coef. produção)"]
357     coef_keys = ["a1", "a2", "b1"]
358
359     for (idx, (key, nome)) in enumerate(zip(coef_keys, coef_nomes))
360         resultados = resultados_sensibilidade[key]
361

```

```

362     # Gráfico g(t)
363     p_g = plot(title="Sensibilidade de g(t) - $nome",
364               xlabel="Tempo (t)", ylabel="g(t)",
365               legend=:bottomright, grid=true)
366
367     # Gráfico f(t)
368     p_f = plot(title="Sensibilidade de f(t) - $nome",
369               xlabel="Tempo (t)", ylabel="f(t)",
370               legend=:bottomright, grid=true)
371
372     for (i, res) in enumerate(resultados)
373         cor = cores[i]
374         estilo = occursin("Original", res.label) ? :solid : :dash
375         largura = occursin("Original", res.label) ? 3 : 2
376
377         plot!(p_g, res.t, res.g,
378              label=res.label, color=cor,
379              linestyle=estilo, linewidth=largura)
380
381         plot!(p_f, res.t, res.f,
382              label=res.label, color=cor,
383              linestyle=estilo, linewidth=largura)
384     end
385
386     push!(plots_g, p_g)
387     push!(plots_f, p_f)
388
389     # Salvar gráficos individuais
390     savefig(p_g, "sensibilidade_$(key)_g.png")
391     savefig(p_f, "sensibilidade_$(key)_f.png")
392 end
393
394 # Gráficos combinados
395 p_combined_g = plot(plots_g..., layout=(3,1), size=(800, 1200))
396 p_combined_f = plot(plots_f..., layout=(3,1), size=(800, 1200))
397
398 savefig(p_combined_g, "sensibilidade_completa_g.png")
399 savefig(p_combined_f, "sensibilidade_completa_f.png")
400
401 println("Gráficos de sensibilidade salvos:")
402 for key in coef_keys
403     println(" sensibilidade_$(key)_g.png")
404     println(" sensibilidade_$(key)_f.png")
405 end
406 println(" sensibilidade_completa_g.png")
407 println(" sensibilidade_completa_f.png")
408
409 return plots_g, plots_f
410 end
411
412 # Função para análise quantitativa da sensibilidade
413 function relatorio_sensibilidade(resultados_sensibilidade)

```

```

414 """
415 Gera relatório detalhado da análise de sensibilidade
416 """
417 open("analise_sensibilidade_completa.txt", "w") do file
418     write(file, "ANÁLISE DE SENSIBILIDADE DOS COEFICIENTES\n")
419     write(file, "="^70 * "\n\n")
420
421     write(file, "VALORES ORIGINAIS:\n")
422     write(file, " a = 13.1 (coeficiente linear)\n")
423     write(file, " a = 13.94 (coeficiente quadrático)\n")
424     write(file, " b = 1.71 (coeficiente de produção)\n\n")
425
426     # Valor original de referência
427     res_original = findfirst(r -> occursin("Original", r.label),
428                             resultados_sensibilidade["a1"])
429     g_ref = resultados_sensibilidade["a1"][res_original].g[end]
430     f_ref = resultados_sensibilidade["a1"][res_original].f[end]
431
432     write(file, @sprintf("VALORES DE REFERÊNCIA (t=1):\n"))
433     write(file, @sprintf(" g(1) = %.8f\n", g_ref))
434     write(file, @sprintf(" f(1) = %.8f\n\n", f_ref))
435
436     # Análise para cada coeficiente
437     coef_nomes = Dict{"a1" => "a (coeficiente linear)",
438                      "a2" => "a (coeficiente quadrático)",
439                      "b1" => "b (coeficiente de produção)"}
440
441     for (key, nome) in coef_nomes
442         write(file, "SENSIBILIDADE DO $nome:\n")
443         write(file, "-"^50 * "\n")
444         write(file, @sprintf("%-15s %-12s %-12s %-10s %-10s\n",
445                               "Variação", "g(1)", "f(1)", "g(%)", "f(%)"))
446         write(file, "-"^65 * "\n")
447
448         for res in resultados_sensibilidade[key]
449             if !occursin("Original", res.label)
450                 delta_g_pct = ((res.g[end] - g_ref) / g_ref) * 100
451                 delta_f_pct = ((res.f[end] - f_ref) / f_ref) * 100
452
453                 # Extrair variação do label
454                 if occursin("+", res.label)
455                     variacao = split(split(res.label, "(")[2], "%")[1] * "%"
456                     variacao = "+" * variacao
457                 elseif occursin("-", res.label)
458                     variacao = split(split(res.label, "(")[2], "%")[1] * "%"
459                     variacao = "-" * variacao
460                 else
461                     variacao = "Original"
462                 end
463
464                 write(file, @sprintf("%-15s %-12.8f %-12.8f %-10.2f %-10.2f\n",
465                                       variacao, res.g[end], res.f[end], delta_g_pct, delta_f_pct))

```

```

466         end
467     end
468     write(file, "\n")
469 end
470
471     write(file, "INTERPRETAÇÃO DOS RESULTADOS:\n")
472     write(file, " g(%) e f(%): variação percentual em relação ao caso original\n")
473     write(file, " Valores positivos indicam aumento da concentração\n")
474     write(file, " Valores negativos indicam diminuição da concentração\n")
475 end
476
477     println("Relatório de sensibilidade salvo: analise_sensibilidade_completa.txt")
478 end
479
480 # FUNÇÃO PRINCIPAL
481 function main()
482     """
483     Função principal que executa toda a simulação conforme especificação
484     """
485     println("Iniciando simulação completa do reator de batelada...")
486     println("Linguagem: Julia")
487     println("Data: $(Dates.now())")
488
489     # PARÂMETROS DO PROBLEMA (conforme especificação)
490     g0 = 0.03      # g(0) = 0.03
491     f0 = 0.0       # f(0) = 0.0
492     t_max = 1.0    # 0 t 1
493     dt_inicial = 0.05 # t inicial = 0.05 (conforme requisito 2)
494
495     # 1. ANÁLISE DE CONVERGÊNCIA (requisitos 2 e 3)
496     println("\n1 EXECUTANDO ANÁLISE DE CONVERGÊNCIA...")
497     resultados_convergencia = analise_convergencia_completa(g0, f0, t_max)
498
499     # 2. PLOTAR RESULTADOS PRINCIPAIS (requisito 3)
500     println("\n2 GERANDO GRÁFICOS DOS RESULTADOS...")
501     plotar_resultados_principais(resultados_convergencia)
502
503     # 3. ANÁLISE DE SENSIBILIDADE (requisito 4)
504     println("\n3 EXECUTANDO ANÁLISE DE SENSIBILIDADE...")
505     resultados_sensibilidade = analise_sensibilidade_coeficientes(g0, f0, t_max, 0.01)
506
507     # 4. PLOTAR SENSIBILIDADE
508     println("\n4 GERANDO GRÁFICOS DE SENSIBILIDADE...")
509     plotar_sensibilidade(resultados_sensibilidade)
510
511     # 5. RELATÓRIO DE SENSIBILIDADE
512     println("\n5 GERANDO RELATÓRIO DE SENSIBILIDADE...")
513     relatorio_sensibilidade(resultados_sensibilidade)
514
515     # 6. RESUMO FINAL
516     println("\n" * "="^80)
517     println("SIMULAÇÃO CONCLUÍDA COM SUCESSO!")

```

```

518     println("="^80)
519     println("\n ARQUIVOS GERADOS:")
520     println("\n TABELAS DE RESULTADOS:")
521     println(" convergencia_numerica.txt - Análise de convergência")
522     println(" resultados_dt_0.0500.txt - Resultados com t=0.05 (principal)")
523     println(" resultados_dt_*.txt - Resultados para outros valores de t")
524     println(" analise_sensibilidade_completa.txt - Análise detalhada")
525
526     println("\n GRÁFICOS PRINCIPAIS:")
527     println(" evolucao_g_tempo.png - Evolução de g(t)")
528     println(" evolucao_f_tempo.png - Evolução de f(t)")
529     println(" plano_fase.png - Plano de fase g vs f")
530     println(" resultados_principais.png - Gráficos combinados")
531
532     println("\n GRÁFICOS DE SENSIBILIDADE:")
533     println(" sensibilidade_a1_g.png, sensibilidade_a1_f.png")
534     println(" sensibilidade_a2_g.png, sensibilidade_a2_f.png")
535     println(" sensibilidade_b1_g.png, sensibilidade_b1_f.png")
536     println(" sensibilidade_completa_g.png, sensibilidade_completa_f.png")
537
538     # Resultados finais com t = 0.05
539     resultado_principal = resultados_convergencia[1] # t = 0.05
540     println("\n RESULTADOS FINAIS (t = 0.05):")
541     println(@sprintf(" g(1) = %.8f", resultado_principal.g[end]))
542     println(@sprintf(" f(1) = %.8f", resultado_principal.f[end]))
543
544 end
545
546 main()

```